

コ-ナ-を過ぎる三次元粘性流

宇都宮大 散養 徳田 尚之

§ 1. いとぐち

流体力学の分野で、いろいろ重要な応用例があり、
かまこけまで相当多くの人か研究してゐるにも拘わらずまだ
よく理解されてゐないクラスの流れの一つは、幾何学的には
不連続な形状をしてゐるコ-ナ-に沿う流れがある。例之は
、航空機の翼と胴体部、尾翼と胴体部、又はタービン翼の根
本部(即ち端部)に沿う流れとか、テネル-ガー-更には風洞の壁
面コ-ナ-に沿う流れ等は、その代表的なものである。これら
の2-ナ-・フローの大きな特徴の一つは、コ-ナ-を形成
する2つの平面上で成長した境界層が直接干渉し合、て出来
る流れの三次元性にあるところである。今迄よく研究されて来
た三次元流の中の軸対称流とか無限長後退翼上を過ぎる流れ
の様は、Stokes の流れ関数の適用出来る準二次元的流れとは
この点では、より区別されるべきである。さて、この三次元

性の他に、形状自体のもつ不連続性のため、流れの中にどの様な特異性が現われるかを知ることも大変重要な課題とい、こまりださう。そこで、本論文では、コーナー・フローの特異性の最も強いと考えられるコーナー・近傍で成り立つ Stokes 解を求める事により流れの特異性を明確にし、更にこれ迄を求め、これらの実験結果、数値解算も紹介し、さらにコーナー・フロー全体の流れの特徴を説明して行くことにしよう。なお、この種のコーナー・フローの大きな特徴である流れの三次元性は、主流方向に伸びる渦糸群により最も容易に理解出来るが、これらの物理的解釈は文献(1)に述べたのと同じと参考されたい。

§2 コーナー・フローの構造と方程式

コーナー・フローのモデルとしては、二枚の四半無限平板が夾角 2α で交わり、これ形成されるコーナーを過ぎる流れを考えることにしよう。一様流 U はこのコーナーの交線に沿って流れる場合、即ち、迎之角の場合と考えよう。このコーナー形状の前縁部のコーナー・交点に原点をとった円筒座標 (r, θ, x) を座標系として考へてみよう。(詳細は図1とみよ)。考へる流れの領域としては前縁部からは充分に遠

の downstream で $Ux/2 \gg 1$ の領域とする。これは $Ux/2 \gg 1$ のある粘性曲面上の流れを考慮することに相当する。ここで x は前縁部からの距離であり、 ν は流体の運動粘性係数である。この downstream の流れを考察するにあたり、 θ は、流れを次の四つの各々異なり、 θ を特徴とする領域に分割して考えると最も便利である。

- ①. θ を止め、 $(\nu < \theta < \alpha)$ $r \rightarrow \infty$ に近づける極から充分離れたところからシロ流領域。
- ②. $\theta \rightarrow \pm \alpha$ で $r \rightarrow \infty$ に近づける Blasius 流領域
- ③. θ を止め、 $r \rightarrow O(1)$ の三次元の強いコーナ領域
- ④. θ を止め、 $r \rightarrow O(1)$ に近づける Stokes 領域。

本論文の残りの興味の対象は、流れの三次元性が増強し、 ν がコーナ形状の非線形性の強さを理解するに③と④の領域である。

それでは③と④^{領域}の流が互に作用する方程式を導いてみよう。
 $Ux/2 \gg 1$ という条件から主流方向 (x 軸) については境界層近似が成り立ち、 $\frac{Ux}{2} \rightarrow \infty$ という極限をとりその第一近似をとると、連続性及び運動方程式は次の如く表わすことができる
(詳細は文献(2),(3)を参照せよ)。

$$\nabla^2 u = N_1(u, v, w) \quad (2.1)$$

$$\nabla^2 \phi = H(\psi) + N_2(u, v, w) \quad (2.2)$$

$$ru = \frac{\partial \psi}{\partial \theta}, \quad rv = \frac{\partial \phi}{\partial \theta}, \quad w = \frac{r}{2} \frac{\partial \psi}{\partial r} - \frac{\psi}{2} \frac{\partial \phi}{\partial r} \quad (2.3)$$

境界条件は;

$$u = v = w = 0 \quad \theta = \pm \alpha \quad (2.4)$$

$$\phi, \psi \rightarrow (\phi, \psi)_P \quad r \rightarrow \infty, \theta \text{ fixed} \quad (2.5)$$

$$\phi, \psi \rightarrow (\phi, \psi)_B \quad r \rightarrow \infty, \theta \rightarrow \pm \alpha$$

但し, r, z

$$\nabla^2 = \frac{\partial^2}{\partial r^2} + \frac{1}{r} \frac{\partial}{\partial r} + \frac{1}{r^2} \frac{\partial^2}{\partial \theta^2},$$

$$H(\psi) = \frac{r}{2} \frac{\partial^3 \psi}{\partial r^3} + 2 \frac{\partial^3 \psi}{\partial r^2} - \frac{1}{2r} \frac{\partial^3 \psi}{\partial r^2} + \frac{1}{2r^2} \frac{\partial^3 \psi}{\partial r} - \frac{\psi}{2r^3} + \frac{1}{2r^2} \frac{\partial^3 \psi}{\partial r \partial \theta} - \frac{1}{2r^3} \frac{\partial^3 \psi}{\partial \theta^2} + \frac{1}{2r} \frac{\partial^3 \psi}{\partial r \partial \theta^2},$$

$$N_1(u, v, w) = -\frac{r}{2} u \frac{\partial u}{\partial r} + v \frac{\partial u}{\partial r} + \frac{w}{r} \frac{\partial u}{\partial \theta}.$$

$N_2 \in N_1$ と同様非線形対流項を表わす。又 (2.5) の P , B はポワレニャル流領域及び Blasius 流領域を示す。 $(\phi, \psi)_P$ は勾論 $r \rightarrow \infty$ の一様流を表わす。

(2.1) 式は主流成分 u に支配する方程式であり、(2.2) は主流方向の渦度 ω に支配する方程式で、このコ-ナ- フロ- の三次元性を特徴づける。(2.3) 式は三次元速度成分を定めるポワトル・ポワレニャル関数 ϕ, ψ の定義式である。方程式 (2.1 ~ 2.3) から明らかなる様に、(2.1 ~ 2.3) は ϕ, ψ のみで表わす事が出来るので、(2.1), (2.2) と境界条件 (2.4), (2.5) と満足する様に解ける。方程式 (2.1), (2.2) は座標 r, θ によって楕円形、若くは非線形方程式で、連立して解かなければならない。この事は、コ-ナ- 形状による流場の特異性を最も強く及

映すると考えてよい Stokes 近似を押し進めておこう。実際に、物理的には流れの三次元性に重要な影響をもち主流方向渦度方程式 (2.2) を全く無視して、Rayleigh の方法⁽¹⁾を降れば、非線形方程式 (2.1, 2.2) を合理的に線形化出来る唯一の方法と考えられる。慣性項の影響の強いコーナー領域⁽³⁾自体の流れは現状では数値解に頼るわけがあるのか、勿論この Stokes 領域⁽⁴⁾の解に接続せねばならない訳であり、その意味で Stokes 解は重要な意義をもち、おこさう。数値解、実験結果については §4 で述べる。

§3. Stokes 解

境界条件 (2.4) を満たすから方程式 (2.1), (2.2) の解を変数 θ を固定 ($-\alpha \leq \theta \leq \alpha$) して、 $r \rightarrow 0$ の極限で求めることが可能である。このコーナー交点に極く近い領域では渦度の勾配が非常に大きく、慣性項の影響の小さい拡散項に支配されるいわゆる線形の Stokes 近似が成り立つ。今迄に未だ、この特徴的長さの内の問題での Stokes 解 — 例えば、Carrier & Lim⁽⁴⁾による半無限平板の前縁部の解 — では、その Stokes 解が $r \rightarrow 0$ であれば成り立つ事のみが判り、この点で、慣性項の効いてくる領域とどの様か接続して

ゆくのほとんど不明であるが、^{(2), (3)} 著者は、この半無限物体での Stokes 解が粘性均の効く領域と解が一致するマッティング領域のあることを証明した。このためこれまで非常に限定した意義しか持つことの許さぬが、Stokes 解が全体の領域の中では、よりよい位置づけを占めるといえる、こよりである。実際、マッティングのため、③の領域での解の形が決まってくる。さて、(2.1), (2.2) 式の Stokes 解は u と ϕ について次の如く求めると便利である。^{(2), (3)}

$$u(r, \theta) = u_0(r, \theta) + u_1(r, \theta) + \dots \quad (3.1)$$

$$\phi(r, \theta) = \phi_0(r, \theta) + \phi_1(r, \theta) + \dots \quad (3.2)$$

但し、 $u_0 \gg u_1 \gg u_2, \dots$ for θ fixed as $r \rightarrow \infty$.

$$\phi_0 \gg \phi_1 \gg \phi_2, \dots$$

こゝでは $\alpha = \pi - \alpha$ の代表的な直角 $\alpha = \pi - \alpha = \pi/2$ の場合と考えておこう。 $\alpha = \pi, \frac{3}{2}\pi, \pi$ の場合の Stokes 解を求める手順等は文献(3)に詳しう。

$$u = A_0 r^2 \sin 2\theta + A_1 r^6 \ln r \sin 6\theta + r^6 \left\{ A_2 \sin 6\theta + \frac{A_1^2}{36\mu} f_3(\theta) \right\} + \dots \quad (3.3)$$

$$\phi = \frac{A_1}{4} r^4 \sin 2\theta + B_1 r^{2\alpha_1} (\sin \alpha_1 \theta + C_1 \sin (\alpha_1 - 2)\theta) + O(r^6 \ln r) + \dots \quad (3.4)$$

こゝで $A_0, A_2, A_3, \dots, B_1, C_1, \dots$ は Stokes 近似ではきまらぬ未定係数であり、 $2\alpha_1 = \alpha + i\kappa_1$, $\kappa_1 = 5.808$, $\kappa_2 = 1.464$ は定数である。

る。この直角コーナーの Stokes 解 (3.3), (3.4) を吟味するとコーナー特有の非常に面白い流れの特徴が判る。

(1) (3.3) から解く様々とし (y, z) を平板に沿う直角座標とすれば, $u \propto y$ と有り主流速度成分 u は剥離型である (例えば, $z=0$ で $\frac{\partial u}{\partial y} = 0$ になることから明らかであろう)

(2) $r=0$ の方が表面流れ線群と表面摩擦応力線群の唯一の特異点 (サドル点) になることから Lighthill-Maskell の分類⁽⁵⁾から, 若し剥離が起るとすれば, 剥離は流れが両粘着する剥離気泡型の流れのパターンと示す。

(3) 流れの三次元成分である クロス・フレ成分には, Moffatt⁽²⁾ が二次元楔領域の解として求めた一連の粘性渦の解が現われる。

上の (1), (2) で特徴づけられる三次元流は, 二次元剥離流と似た主流方向の座標 x について $x^{1/2}$ のべき代数的特異点⁽⁶⁾が現われる (Brown & Stewartson)。一方 (3) の粘性渦の解は指数部と複素数と伴う流れと⁽⁶⁾は大変な複雑な特異性と伴う流れである。

この直角コーナーの Stokes 解が示唆する様々コーナー流は大変複雑な流れのパターンと絡み合, 大流れとい, こまごまらう。勿論, このコーナー夾角が 2π まで括かると流れの

特異性もその角度により変，こゝる事は予想されるが，その
 主要な特異性は直角 $\gamma = \pi$ の場合に集約される^{とい}との，こゝら
 だるう。詳細は文献(3)と参照して頂くとして，コーナー流
 には夾角 2α により，次の三つの形の特異性が認められること
 と注意しておこう。

- (1). 剃刀型速度分布のため γ コーナー交点に生じるサドル
 点での $x^{-1/2}$ の如き代数特異点 ($0 < 2\alpha < \pi$).
- (2). 夾角 $0 \sim 156^\circ$ 間で起る Moffatt 渦を代表する複素
 数的特異性.
- (3). 表面摩擦力が交点近傍でも $\propto r^{-\alpha}$ ($\alpha > 0$) の如き代数
 特異性 (主流速度 u について $\pi < 2\alpha \leq 2\pi$, $\gamma = \pi$
 $\rightarrow \pi - \epsilon$ について $1.43\pi < 2\alpha \leq 2\pi$).

(1), と (3) はともに代数特異点であるが，(1) は主流方向の座
 標 x についてであるのに対し，(3) はそれに垂直な $\gamma = \pi$ の
 r -面の極座標 r についてであることに注意される。 $2\alpha = \pi$
 の半無限平板の場合を除くと，総ての角度のコーナー^流に上
 の3つの特異性のうち少なくとも1つは必ず存在してい
 ることが判る。これらの Stokes 解はあくまでコーナ
 ー近傍の流^れしか適用出来る^た訳であるが，コーナー領域全
 体の流れをみるのに今迄に発表されている数値解及び実験結
 果を紹介してみよう。

§. 4. 数値解と実験結果.

この2-1-流の理論は $2d = \frac{\pi}{2}$ の場合が最も古くから研究されており、緩和法による Carrier⁽⁷⁾, Pearson⁽⁸⁾ の数値解, 最近では大型高速計算機による Rubin & Grossman⁽⁹⁾, Desai & Mangler⁽¹⁰⁾, Ghia⁽¹¹⁾ の数値解が発表されている。Carrier⁽⁷⁾ の解は三次元のベクトル・ポテンシャル関数と一般のスカラー関数で表わそうと1方向の主軸方向の温度方程式(2.2)が完全に満足されているが、これが、この時後に Pearson⁽⁸⁾ により修正されている。一方、Rubin & Grossman⁽⁹⁾, Desai & Mangler⁽¹⁰⁾, Ghia⁽¹¹⁾ の解は、前者が Gauss-Seidel法, Ghiaが ADI法による大型計算機による数値解である。Rubin & Grossman の解は、座標系としては最も簡単な直交座標を用い、代数的に1が漸近1層の準二次元の Blasius 流への接続は、Rubin & Pal⁽¹²⁾ による漸近解を用いている。これに対して Desai & Mangler⁽¹⁰⁾ は、どうして誤差の大きさと考へる未定係数を含む漸近解への接続という方法はとらざりて簡単な一次変換を導入して無限遠領域まで積分する(直接数値)という方法を取っているが、座標系として直交しているのに表示を用いているため差分方程式が余りに複雑になりすぎている。Ghia の数値解は、きわめて安定な ADI法を使っていることその他に、座標系として直交座標、積分範囲も一次変換による無限遠までと、上の Rubin & Grossman⁽⁹⁾, Desai

⁽¹⁰⁾ & Mangler の数値スキームの長所の点を採用している。図2
 に示す様々、Desai & Mangler の解は、Rubin & Grossman, 更には Ghia
 の解と殊にウロス・フロ - 成分で顕著に異なり、これらのか目と
 似く。数値解で用いたステップ数、差分方程式の簡潔さと、
 安定性等と考之ると Ghia の解が最も信頼性がある様々著者々
 は思之る。事実、Desai & Mangler の解は、Pearson, Rubin & Grossman
 , Ghia 等の解と若余りに違ひ過ぎるし、主流速度の等速度線
 と比較すると、は、きりと1を覆りの指摘されている Carrier の
 解に近いというのも不思議である。

⁽¹³⁾
 この内題の実験結果は Zamir & Young により示されている
 。上の数値解と顕著に違ひのは、主流速度の等速度線が流
 の対称線上で膨らみと研つことである。実際この膨らみは、
 藤本⁽¹²⁾, Barclay⁽¹⁵⁾ 等の実験にも再現されている様であるが、数
 値解系は未だ見付か、こい居り性格のそのである。この等速
 度線群の膨らみは物理的にはその膨らみ部分で摩擦応力が小
 さい領域の存在することを意味する。流れの対称線上では滑
 度が消えるのどその近傍に摩擦応力の小さい領域が出来ると
 想像し得ることであるし何れ不思議は居るか、だが、等速
 度線に膨らみが出来ると極端に局所化して摩擦応力領域であ
 る必要であるかどうかは又別の内題である。上の数値解と
 比較してみると、Carrier⁽⁷⁾ と Desai & Mangler⁽¹⁰⁾ のその比較は

Rubin & Grossman⁽⁹⁾ と Ghia⁽¹⁰⁾ の解の方が等速度鉄の勾配かわるやかで、明らかに実験に近い位摩擦応力と殊に捻りの対称線近傍を示している事が注目される。Ghiaの解がこれ迄の数値解の中で最も信頼性があると思えるのは、上で述べた数値スキーム上の要因の他にこの物理的側面が大きな要因になっていることとつけ加えておこう。

実験結果では常に観察されている対称線上での等速度鉄の膨らみかどうゆう要因により起^きるのか、又現象的かばどんほ特徴があるのか等もまだ、まじりしている点が多い。Barclay⁽¹⁵⁾ はこの膨らみが流れの安定性に強く関連しているのではなかと推測しているが、それ以外の様は実験結果と相俟^あわしている；コーナー-夾角 $\pi/2$ の実験では下流に行く程増大した膨らみか、それより上流の 135° のコーナー-では逆に減少している。

数値解、実験結果とも直角コーナー- ($2\alpha = \pi/2$) の場合しか調べずかっている様であり、他の角度のものの上の Barclay⁽¹⁵⁾ の 135° 以外発表されている。例えは、 $2\alpha = 2\pi$ ^は 四半無限平板と遇する捻りがあるか、コーナー-部分に当る側縁部 (side edge) の解析は有り。Howarth, Stewartson⁽¹⁶⁾ 等による研究はこの側縁部を除いた解であり、物理的にかこStewartson⁽¹⁶⁾ の解には疑問が多い。 $2\alpha = \pi/2$ と較べれば、実験、数

値解とも場1の場合と考へらるゝのである。

§5. 結 論

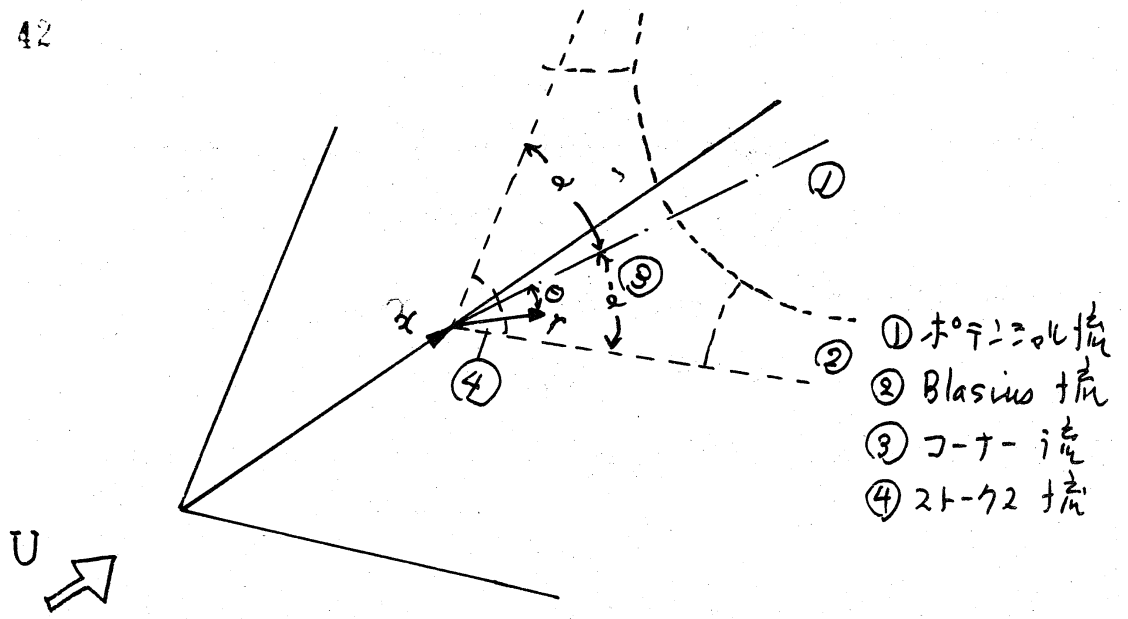
コーナーを過ぎる粘性流體，或は流體力学を研究してゐる者にと，これは，色々の意味で興味のある問題を提供して呉れてゐる：本質的に流體の三次性，斜角型である主流方向の速度成分，Moffattの粘性渦の存在，実験では常に観察されてゐる等速度線の対称線近傍での膨らみ，又コーナー前縁部で巻き上ることにより生じる主流方向の渦対の存在等：どの一つを取，これでも興味深い問題である。

これらの解明と妨げてゐる困難は，解析的方面で云へば，非線形問題であるため使へる解析方法を極めて限定されてゐることによるし，又実験の面から云へば，流體自体が極めて不安定があることによる。この種事情で，コーナー・フローとしては最もよく研究されてゐる夾角 $\pi/2$ の直角コーナーの場合でも，数値解と実験結果とがまだ可成りの差があるのが現状である。この直角コーナーよりはず，と容易と考へらるゝ四半無限平板に於て，これは数値解，実験結果を併り状態である。今後の研究を期待したい。

References.

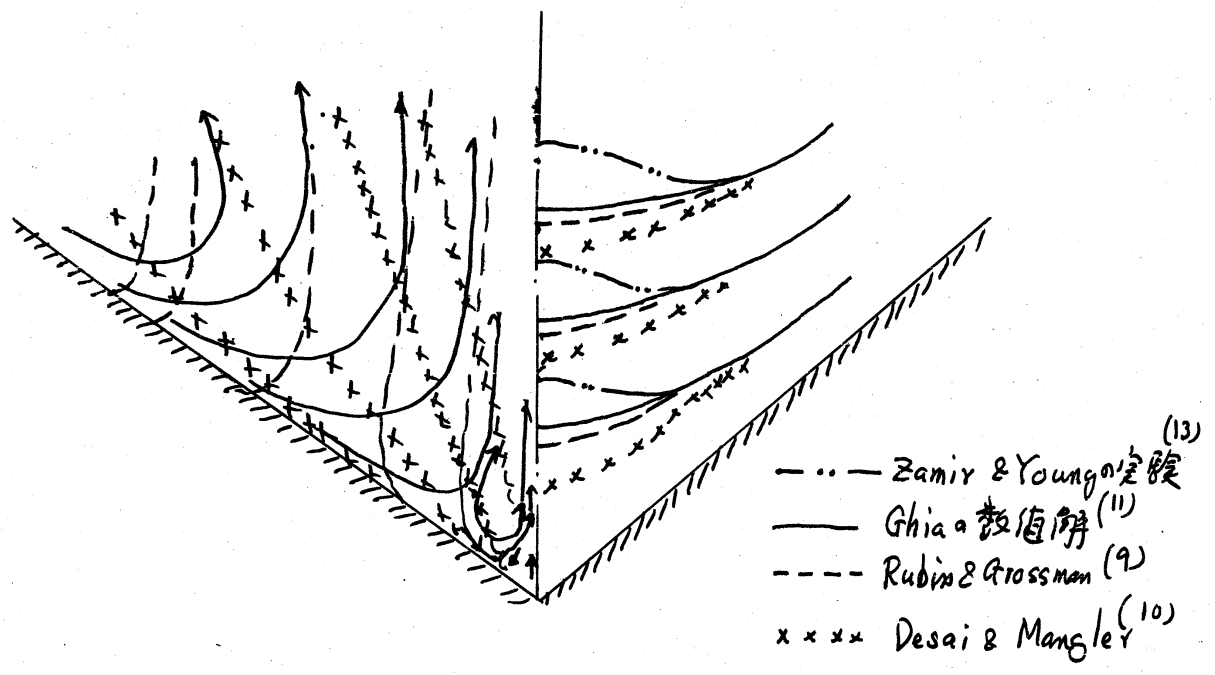
1. 藤田尚之: コーナー近傍の三次粘性流
 流体力学研究所報告. 1976年5月号. 18.
2. Tokuda, N: Viscous flow near a corner in three-dimensions.
 J.F. M 53 (1972) 129
3. Tokuda, N: Stokes solutions for flow near corners in three-
 dimensions. J. Phys. Soc. Japan 38 (1975) 1183
4. Carrier, G.F & Lin, C.C: On the nature of the boundary layer near the
 leading edge of a flat plate. Q. Appl. Math., 6 (1948) 63
5. Lighthill, M.J: Chapt. II. Laminar Boundary Layers. Ed. L. Rosenhead
 Oxford Univ. Press 1963
6. Brown, S.N & Stewartson, K: Laminar Separation
 Ann. Rev. Fluid Mech. 1. (1972) 75
7. Carrier, G.F: The boundary layer in a corner
 Q. Appl. M. 4 (1947) 4
8. Pearson, J.R.A: Homogeneous turbulence and laminar viscous flow
 Ph.D Thesis Cambridge Univ, 1957
9. Rubin, S.G & Grossman, B: Viscous flow along a corner. Part II
 P.I. B.A.L Report No 69-33 (1965)
10. Desai, S.S & Mangler, K.W: Incompressible laminar boundary-layer flow
 along a corner. Roy. Air. Est. Tech. Rept 74062 (1974)

11. Ghia, K.N : Incompressible streamwise flow along a corner
AIAA J. 13 (1975) 902.
12. Rubin, S.G & Dal, A : Viscous flow along a corner, Part I.
P.I.B.A.L. Rept 69-18 (1969)
13. Zamir, M & Young, A.D : Experimental investigation of the boundary layers
in a streamwise corner: Aero. Quant. 21 (1970) 313
14. 藤本武男 : 航空学会誌. (各 - 種 特 殊 の 流 路 介 紹)
15. Barclay, W.H : Experimental investigation of the laminar flow
along a 135° corner. Aero. Quant. 24 (1973) 149
16. Stewartson, K : Viscous flow past a quarter-infinite plate.
J. Aero. Sci. 28 (1961) 1.



- ① ホーリスコルム流
- ② Blasius 流
- ③ コーナー流
- ④ ストアグネーション流

図1. 座標系と流れの領域



- Zamir & Youngの⁽¹³⁾実験
- Ghiaの数値解⁽¹¹⁾
- Rubin & Grossman (9)
- x x x x Desai & Mangley⁽¹⁰⁾

図2. 等速度線(主流速度): 右羊面

とウレエ. フレ-面内の流線群: 左羊面.